



Общероссийский математический портал

А. В. Селиверстов, М. А. Тарасов, В. С. Эдельман, Влияние продольного магнитного поля на андреевскую проводимость структуры сверхпроводник–изолятор–нормальный металл, *Письма в ЖЭТФ*, 2016, том 103, выпуск 7, 547–551

DOI: 10.7868/S0370274X16070110

Использование Общероссийского математического портала Math-Net.Ru подразумевает, что вы прочитали и согласны с пользовательским соглашением

<http://www.mathnet.ru/rus/agreement>

Параметры загрузки:

IP: 3.138.34.226

6 октября 2024 г., 10:13:42



# Влияние продольного магнитного поля на андреевскую проводимость структуры сверхпроводник–изолятор–нормальный металл

А. В. Селиверстов<sup>+,\*</sup>, М. А. Тарасов<sup>×</sup>, В. С. Эдельман<sup>+1)</sup>

<sup>+</sup>Институт физических проблем им. Капицы РАН, 119334 Москва, Россия

<sup>\*</sup>Московский физико-технический институт, 141700 Долгопрудный, Россия

<sup>×</sup>Институт радиотехники и электроники им. Котельникова РАН, 125009 Москва, Россия

Поступила в редакцию 12 января 2016 г.

После переработки 26 февраля 2016 г.

В туннельных структурах сверхпроводник (алюминий) – изолятор (окись алюминия) – нормальный металл (медь) при малых напряжениях наряду с одночастичным туннелированием наблюдалась ярко выраженная проводимость за счет электронов, испытывающих андреевское отражение от сверхпроводящего конденсата. Экспериментально обнаружено, что в магнитном поле, параллельном плоскости туннельного перехода, коллективный ток подавляется и андреевская проводимость уменьшается примерно вдвое в поле  $\sim 20$ – $30$  мТ.

DOI: 10.7868/S0370274X16070110

**1. Введение.** Изучению проводимости туннельных структур сверхпроводник–изолятор–нормальный металл (SIN) посвящено громадное количество работ. Вызвано это перспективами их использования в качестве чувствительных приемников излучения, приборов электронного охлаждения, низкотемпературных термометров. В качестве основного механизма переноса туннельного тока в них и сопровождающих тепловых процессов (нагрева и электронного охлаждения) рассматривается одночастичное туннелирование электронов (дырок) из нормального металла в сверхпроводник на свободные состояния в сверхпроводнике выше (ниже) энергетической щели  $\Delta_c$ .

Андреевское отражение, определяющее проводимость S–N-контакта, в туннельных структурах обычно не наблюдается на фоне одночастичного туннелирования. Для случая большой длины свободного пробега электронов вероятность подщелевого туннелирования мала [1]. Однако при температурах  $T \ll \ll T_c = \Delta_c/1.76$  К (где  $T_c$  – температура сверхпроводящего перехода) при малых напряжениях на туннельном переходе,  $U \ll \Delta_c/e$ , ток нормальных электронов экспоненциально падает и подщелевой ток может стать доминирующим. Последнее экспериментально наблюдалось в ряде работ (см., например, [2–5]). При этом в [5] подщелевой ток намного превышал

одночастичный ток. Его относительному усилению способствует то, что в реальных плоскостных SIN-структурах с малой толщиной нормального электрода и малыми длинами свободного пробега при упругих столкновениях  $\tau_{el}$  электронно-дырочная андреевская пара многократно падает на границу раздела за время сбоя фазы из-за неупругих столкновений с  $\tau_\varphi \gg \tau_{el}$ , пропорционально увеличивая вероятность туннелирования (см., например, [6]). Андреевский ток, рассчитанный в [2–5] на основе теории, учитывающей мезоскопические свойства нормального металла [6], вполне удовлетворительно согласуется с экспериментом для образцов SIN, сильно различающихся как площадью  $S$  туннельных электродов (от 0.023 [2] до 16 мкм<sup>2</sup> [5]), так и прозрачностью туннельного барьера, характеризуемого параметром  $R_n \cdot S$ , где  $R_n$  – сопротивление перехода в нормальном состоянии (от 30 [2, 5] до 390 [3, 4] и 560 Ом в этой работе).

Из общих соображений можно ожидать, что андреевский ток должен зависеть от магнитного поля. Так, в работе [2], в которой исследовался интерферометр из сверхпроводящего контура, замкнутого короткой полоской нормального металла, образующей SINIS-переход, наблюдались, как и в SQUID, вариации тока при изменении магнитного поля, перпендикулярного плоскости структуры. Эти вариации связаны с изменением фазы волновой функции в сверхпроводнике, но не зависят от расфазирова-

<sup>1)</sup>e-mail: vsedelman@yandex.ru

ния электронно-дырочных пар в объеме нормального металла. Однако нам не известны эксперименты по исследованию SIN-переходов в магнитном поле, параллельном плоскости перехода. В связи с этим представлялось интересным изучить поведение проводимости SIN- или SINIS-структур с туннельными переходами, разделенными полосками нормального металла значительной длины, исключая корреляцию процессов в переходах, в касательном магнитном поле, поскольку при этом можно ожидать дополнительного набега фазы и эффективного уменьшения времени  $\tau_\varphi$ . Мотивацией к проведению таких измерений послужило общеизвестное влияние поля с такой ориентацией на характеристики туннельных SIS-переходов.

Ранее в работе [7] мы исследовали поведение плоских SINIS-структур в магнитном поле  $\mathbf{B}$ , перпендикулярном их поверхности. Как было установлено, при такой конфигурации в сверхпроводящем переходе формируется абрикосовская структура из квантовых вихрей с нормальными сердцевинами. Из-за этого полная проводимость возрастает, что маскирует андреевский вклад. Ниже описаны измерения в касательном магнитном поле, проведенные с SIN-структурами при температуре  $T \sim (80-90)$  мК. Они продемонстрировали двукратное подавление подщелевой туннельной проводимости в поле 20–30 мТл.

**2. Постановка эксперимента.** На кремниевом чипе размещались 4 идентичные структуры, содержащие по 4 SIN-перехода: 1, 4 на концах медной полоски толщиной 30 нм и 2, 3 в середине нее (рис. 1).

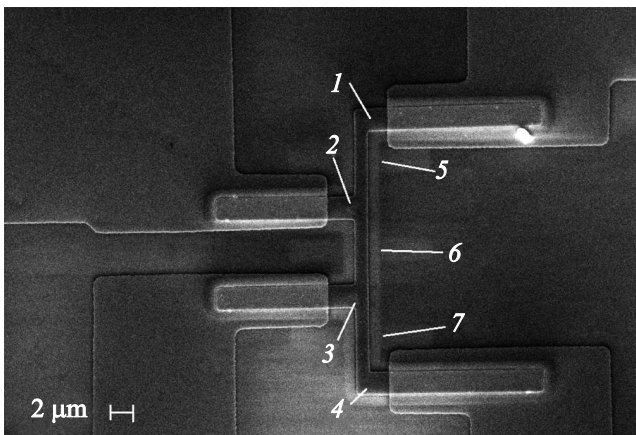


Рис. 1. Электронно-микроскопическое изображение многоэлементной туннельной SINIS-структуры: 1–4 – туннельные SIN-переходы, 5–7 – висячие медные мостики

Медь была напылена на окисленный алюминий. Толщина слоя Al 80 нм, окиси – примерно 1 нм. Алюминий сначала был напылен на подводящие электроды

на основе золота. В алюминии под слоем меди были протравлены окна 5–7, так что в каждой структуре образовалось по три висячих мостика, соединяющих туннельные переходы. Структуры несколько различались размерами – площадью туннельных переходов  $S_t$  (8 или 10 мкм<sup>2</sup>) и длиной  $L_n$  свободных нормальных полосок (2 или 4 мкм).

Вольт-амперные характеристики измерялись на постоянном токе по обычной четырехзондовой схеме. Использовалась система сбора данных на основе портативного компьютера ноутбук. Ток  $I$  задавался 16-разрядным ЦАП. Усиленное малопыющим усилителем напряжение  $U$  преобразовывалось 16-разрядным АЦП. Приведенная дифференциальная проводимость определялась как  $G(U) = R_n \cdot dI/dU$ , где  $R_n$  – сопротивление перехода в нормальном состоянии.

Измерения проводились с использованием погружного криостата растворения [8], в котором образцы размещаются на вершине прибора на держателе, охлаждаемом до температуры ниже 0.1 К. Их можно помещать как горизонтально, так и вертикально. При этом направленное вертикально магнитное поле, создаваемое соленоидом, установленным снаружи криостата, будет направлено примерно по нормали или по касательной к плоскости туннельного перехода. Для изменения направления поля можно наклонять соленоид в пределах  $\pm 10^\circ$ .

**3. Результаты измерений.** У всех переходов наблюдались похожие вольт-амперные характеристики и, соответственно, похожие зависимости  $G(U, T)$ . При  $\sim 0.2 \text{ K} < T < \sim 0.4 \text{ K}$  они хорошо описывались производной известного выражения для тока одноэлектронного туннелирования [9].

$$I(U, T) = \frac{1}{eR_n} \sqrt{2\pi kT \Delta_c} \exp(-\Delta_c/kT) \sinh(eU/kT). \quad (1)$$

Как видно из этой формулы, щель  $\Delta_c$  определяет относительные значения  $G(U = 0, T)$ , а  $R_n$  задает абсолютный масштаб тока. Поскольку в указанном диапазоне температур  $G$  изменяется на два порядка, по данным измерений можно с высокой точностью определять оба эти параметра.

При понижении температуры одночастичная модель явно перестает работать. Это видно из зависимостей  $G(U)$ , приведенных на рис. 2. При  $U = 0$  проявляется максимум проводимости. Аналогичный максимум при нулевом напряжении наблюдался ранее в работах [2–4]. Его появление приписывается подщелевому андреевскому току. Указанный максимум мы наблюдали для всех исследованных SINIS. Вместе с тем значение приведенной проводимости

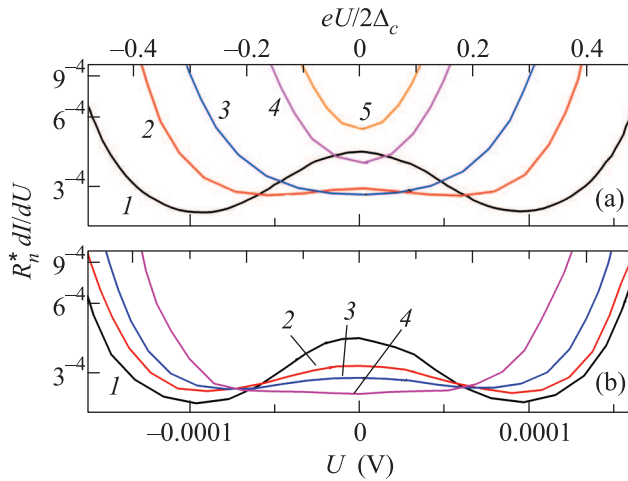


Рис. 2. (Цветной онлайн) Зависимости от напряжения проводимости SINIS-структуры при наклоне магнитного поля на  $7.5 \pm 0.5^\circ$  к поверхности переходов (а): 1 – 0; 2 – 16.7; 3 – 19.0; 4 – 25.7; 5 – 28.6 мТл; в параллельном с точностью  $\pm 0.5^\circ$  поле (б): 1 – 0; 2 – 14; 3 – 18.7; 4 – 28.6 мТл. Температура  $T = 0.085$  К

$G(0)$  менялось от структуры к структуре в пределах  $(1.5-5.5) \cdot 10^{-4}$ . При этом даже для одной и той же структуры после выдержки ее при комнатной температуре в течение месяца проводимость уменьшилась от  $5.5 \cdot 10^{-4}$  до  $4.5 \cdot 10^{-4}$ . По-видимому, это связано как с неконтролируемыми процессами при изготовлении, так и с диффузионными и коррозионными явлениями при хранении.

Исследования влияния касательного поля были проведены со структурой с наибольшей подщелевой проводимостью. Измерялись вольт-амперные характеристики SINIS-переходов 1, 4 (рис. 1) и, в отдельности, SIN-переход 1 (ток через переходы 1–4, напряжение измерялось между переходами 1–2).

У этой структуры переходы имели площадь  $8 \text{ мкм}^2$ . Их сопротивление в нормальном состоянии составляло  $R_n = 70 \pm 5 \text{ Ом}$ . Ширина висячих мостиков 1 мкм, толщина 30 нм, длина каждого 4 мкм, сопротивление при гелиевых температурах  $6 \pm 1 \text{ Ом}$ . Таким образом, удельное сопротивление пленки меди  $\sim 5 \text{ мкОм} \cdot \text{см}$ , что соответствует длине свободного пробега электронов  $\sim 10 \text{ нм}$  или коэффициенту диффузии электронов  $D \sim 70 \text{ см}^2/\text{с}$ . Значение сверхпроводящей щели, определенное из сравнения экспериментальных и рассчитанных по формуле (1) вольт-амперных характеристик при разных температурах, составило  $\Delta_c/k = 1.94(\pm 2\%) \text{ К}$ .

На рис. 2 приведены зависимости приведенной дифференциальной проводимости  $G$  от приложенного к переходам 1–4 напряжения  $U$  при разных зна-

чениях внешнего поля. На рис. 2а показаны результаты при исходном положении соленоида, при котором, кроме касательной, присутствует нормальная к поверхности перехода компонента магнитного поля. При нулевом поле и напряжении в области нуля проявляется максимум проводимости, существование которого свидетельствует о преобладающем вкладе в туннельный ток андреевских электронно-дырочных пар. Этот максимум начинает формироваться при температуре  $< 0.2 \text{ К}$ . При  $0.08 \text{ К}$  максимум в нуле вдвое превышает минимальное значение дифференциальной проводимости, соответствующее напряжению  $\sim 100 \text{ мкВ}$ , и много больше даваемого расчетом вклада одночастичного туннелирования.

В магнитном поле с ростом индукции  $G(U = 0, B)$ , обусловленная андреевским током, начинает уменьшаться. Одновременно при  $U > (50-100) \text{ мкВ}$  растет проводимость, обязанная одночастичному туннелированию (кривые 1–3 на рис. 2а). В поле примерно  $20 \text{ мТ}$  ее вклад становится доминирующим и картина приобретает вид, характерный для одночастичного туннелирования (кривые 4, 5 на рис. 2а). Такое поведение связано с тем, что изначально поле  $\mathbf{B}$  наклонено на  $\sim 7.5^\circ$  к поверхности перехода. Перпендикулярная компонента поля проникает в виде абрикосовских вихрей с нормальными сердцевинами в область туннельного контакта, что приводит к росту проводимости [7].

При наклоне соленоида удастся значительно ослабить влияние поля на одночастичную проводимость (рис. 2б). Остаточное изменение вклада одночастичного туннелирования при  $U > (50-100) \text{ мкВ}$  при увеличении  $B$  может быть связано как с погрешностью юстировки, так и с краевыми эффектами, приводящими к появлению нормальных участков в переходе. Что касается андреевского туннелирования, то при увеличении  $B$  обусловленная этим эффектом проводимость, как и в случае рис. 2а, уменьшается вдвое при максимальном доступном поле  $28 \text{ мТл}$ .

Аналогичная картина наблюдалась и для одиночного туннельного перехода. При этих измерениях ток протекал через переходы 1–4, а напряжение снималось с контактов 1, 2 (рис. 1). Таким образом, измерялись вольт-амперные характеристики одиночного SIN-перехода 1, отделенного от остальных частей структуры довольно длинным (4 мкм) мостиком нормального металла (рис. 3).

Поскольку при численном дифференцировании из-за погрешности измерения как  $U$ , так и  $I$  шум растет, при обработке результатов мы использовали сравнение непосредственно измеренных характери-

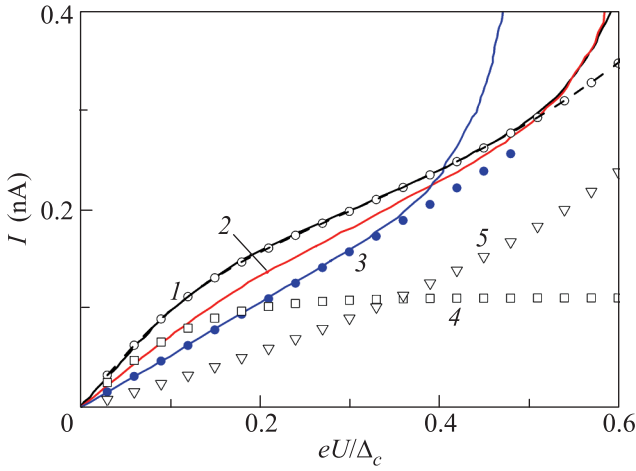


Рис. 3. (Цветной онлайн) Вольт-амперные характеристики туннельного SIN-перехода при трех значениях магнитного поля в плоскости структуры. Линии – эксперимент: 1 – 0; 2 – 16; 3 – 28 мТл. Символы – расчет: 1, 4, 5 – без поля, ток  $I_n + I_s$ ,  $I_n$ ,  $I_s$  соответственно; 3 – 28 мТл. Температура  $T = 0.085$  К

стик  $I(U)$  с модельными расчетами. За основу было взято выражение для подщелевого тока, полученное в работе [6]:

$$I_{\text{subgap}}(U, T) = I_n + I_s = \frac{\hbar}{e^3 R_n^2 S v_n d_n} \tanh(eU/kT) + \frac{\hbar}{e^3 R_n^2 S v_s d_s} \frac{eU/\Delta_c}{\sqrt{1 - eU/\Delta_c}}. \quad (2)$$

Здесь  $v_n$ ,  $v_s$  – плотности электронных состояний в меди и алюминии (нормальный и сверхпроводящий электроды соответственно). Их значения,  $1.56 \cdot 10^{47}$  и  $3.02 \cdot 10^{47} \text{ 1/(Дж} \cdot \text{м}^3)$ , вычислены по величинам электронной теплоемкости этих металлов [10, 11].

Приведенная формула справедлива для случая, когда размеры туннельного перехода больше длин  $(\hbar D / \max\{eU, kT\})^{1/2}$ ,  $(\hbar D / \Delta_c)^{1/2}$  или длины пробега со сбоем фазы  $l_\varphi$  [12], равной  $\sim 1.5$  мкм согласно измерениям [13] с поправкой на значение  $D$  для наших образцов. В нашем случае эти условия выполняются. В данной формуле учтены два тока:  $I_n$ , обязанный интерференции пар в объеме нормального металла, и  $I_s$  – в объеме сверхпроводника.

Как отмечено выше, подщелевая проводимость для номинально идентичных структур заметно различается. Для сопоставления зависимости (2) с экспериментом подбирались три параметра: множители  $K_n$ ,  $K_s$  и эффективная температура  $T_{\text{eff}}$ , в формуле (2), переписанной в виде

$$I_n + I_s = K_n \tanh(eU/kT_{\text{eff}}) + K_s \frac{eU/\Delta_c}{\sqrt{1 - eU/\Delta_c}}. \quad (3)$$

Значения коэффициентов  $K_n$ ,  $K_s$  и  $T_{\text{eff}}$  с погрешностью  $\sim 5\%$  были подобраны при  $B = 0$  (кривая 1 на рис. 3). Оказалось, что во всем диапазоне изменения магнитного поля для приближения расчета к эксперименту с погрешностью 1–2% достаточно варьировать только  $T_{\text{eff}}$  (кривая 3 на рис. 3).

Полученное значение  $K_n = 0.11$  нА оказалось близким к значению 0.14 нА, вычисленному в соответствии с формулой (2). Аналогичный результат был получен в работе [5]. Коэффициент  $K_s = 0.25$  нА, в то время как из формулы (2) следует значение, меньшее на два порядка. Для  $T_{\text{eff}}$  при  $B = 0$  получено значение  $0.127 \pm 0.005$  К, несколько превышающее температуру образца ( $0.086 \pm 0.002$  К), определенное по зависимости одноэлектронного тока от напряжения.

Изменение подщелевой проводимости  $G(U = 0, B)$  демонстрирует рис. 4. Как указывалось вы-

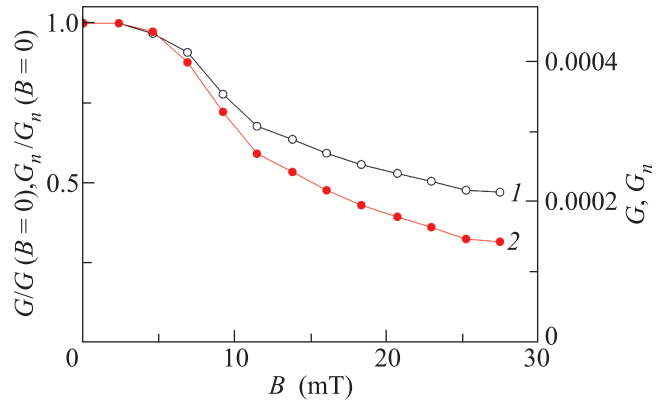


Рис. 4. (Цветной онлайн) Зависимости от магнитного поля приведенной дифференциальной проводимости при  $U = 0$  для SIN при  $T = 80$ : 1 –  $I_n + I_s$ ; 2 –  $I_n$

ше, поле действует только на компоненту  $I_n$ . Ее довольно быстрое изменение происходит в интервале полей 5–15 мТл. При больших полях проявляется тенденция к насыщению. Влияние поля за счет спинового расщепления энергии электронов пары на подщелевую проводимость рассматривалось в [14]. Приведенная в ней зависимость  $G(B)$  напоминает представленную на рис. 4, но при полях, на два порядка больших. Поле порядка 10 мТл не может оказать заметного влияния на энергию электронов: масштаб добавки  $0.01 \text{ К} \ll T$ . Однако магнитное поле может вызвать расфазировку андреевской пары при выполнении условия [15]

$$\Phi_0 / L_\varphi \cdot d_n \approx (30-40) \text{ мТл.}$$

Это значение довольно близко к приведенным на рис. 4. С учетом того, что речь идет о качествен-

ной оценке, согласие можно считать удовлетворительным.

В модели [6] ток  $I_s$  связан с движением пары в сверхпроводнике. Корреляционная длина  $\xi$  в алюминиевой пленке не превышает  $\sim 0.1$  мкм [7]. Соответственно оценка поля, достаточного для подавления такого тока, дает 250 мТ. Это значение на порядок превышает поля, использованные в этой работе.

Таким образом, нами экспериментально установлено, что умеренное магнитное поле, приложенное в плоскости планарной туннельной SIN-структуры, подавляет ее проводимость при малых напряжениях и низких температурах. Этот мезоскопический эффект связан с расфазированием андреевской пары в нормальном металле.

Авторы признательны А.Ф. Андрееву за интерес к работе, А.Г. Семенову и А.Д. Заикину – за ее обсуждение, А.О. Федотову – за оказанную помощь. Работа выполнена при финансовой поддержке Минобрнауки РФ (соглашение # 14.607.21.0100; идентификатор RFMEFI60714X0100).

1. G. E. Blonder, M. Tinkham, and T. M. Klapwijk, Phys. Rev. B **25**, 4515 (1982).

2. H. Pothier, S. Gueron, D. Esteve, and M. H. Devoret, Phys. Rev. Lett. **73**, 2488 (1994).
3. S. Rajauria, P. Gandit, T. Fournier, F. W. J. Hekking, B. Pannetier, and H. Courtois, PRL **100**, 207002 (2008).
4. H. Courtois, S. Rajauria, P. Gandit, F. W. J. Hekking, and B. Pannetier, J. Low Temp. Phys. **153**, 325 (2008).
5. P. J. Lowell, G. C. O'Neil, J. M. Underwood, and J. N. Ullom, J. Low. Temp. Phys. **167**, 392 (2012).
6. F. W. J. Hekking and Yu. V. Nazarov, Phys. Rev. B **49**, 6847 (1994).
7. М. А. Тарасов, В. С. Эдельман, Письма в ЖЭТФ **101**, 836 (2015).
8. В. С. Эдельман, ПТЭ **2**, 159 (2009).
9. D. Golubev and L. Kuzmin, J. Appl. Phys. **89**(11), 6464 (2001).
10. N. E. Phillips, Phys. Rev. **114**, 676 (1959).
11. N. E. Phillips, Phys. Rev. A **134**, 385 (1964).
12. A. G. Semenov, A. D. Zaikin, and L. S. Kuzmin, Phys. Rev. B **86**(14), 144529 (2012).
13. B. Pannetier, J. Chaussy, and R. Rammal, Phys. Scripta T **13**, 245 (1986).
14. A. G. Semenov and A. D. Zaikin, arXiv preprint arXiv:1410.7932, 2014 - arxiv.org (2014).
15. D. A. Dikin, M. J. Black, and V. Chandrasekhar, Phys. Rev. Lett. **87**, 187003 (2001).